Figure 1 : spectre RMN $^{1}H$ de la 6-butyl-α-pyrone mesuré avec un spectromètre travaillant à 400 MHz avec les courbes d'intégration en rouge et l'agrandissement de certains massifs.

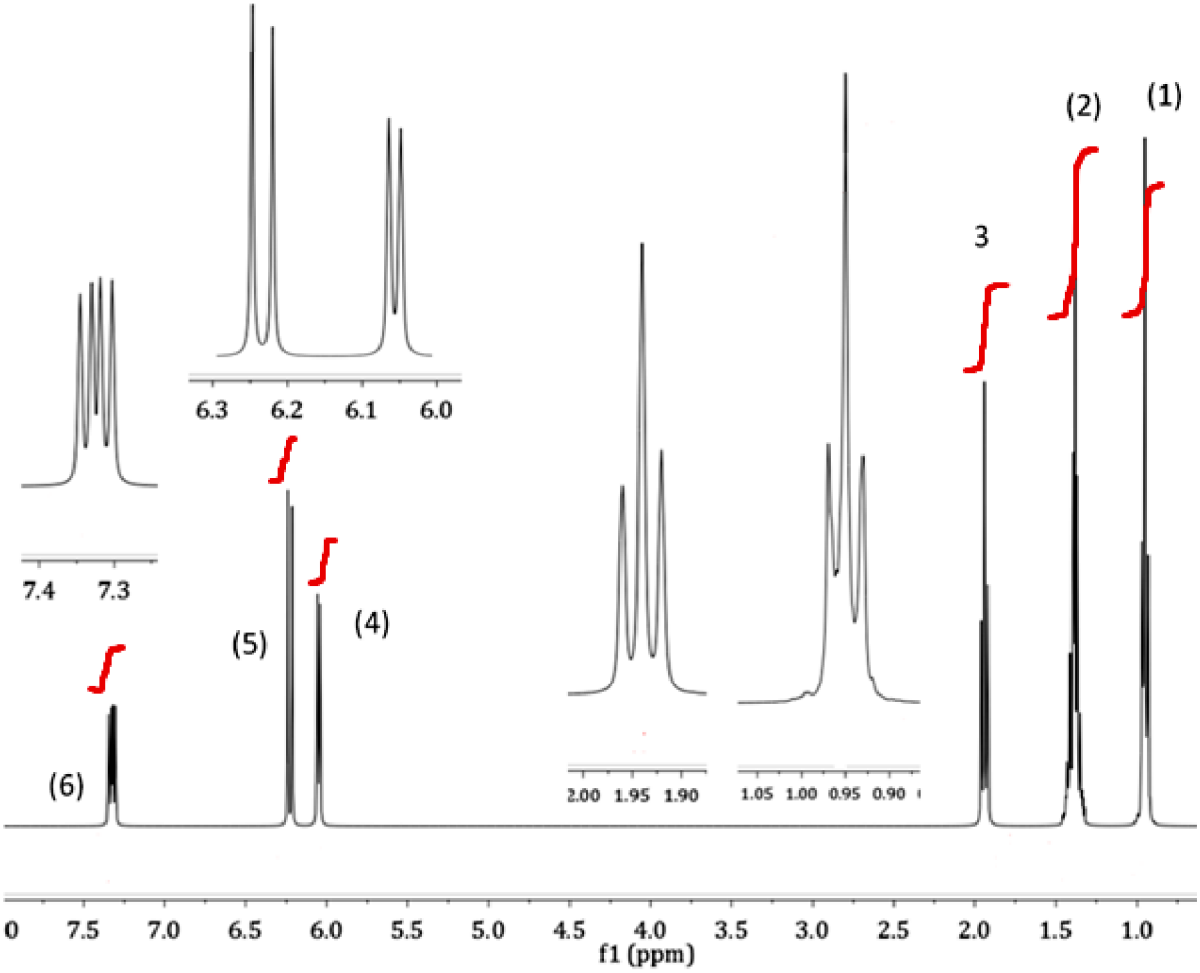


Figure 2 : spectre RMN $^{13}C$ de la 6-butyl-α-pyrone.

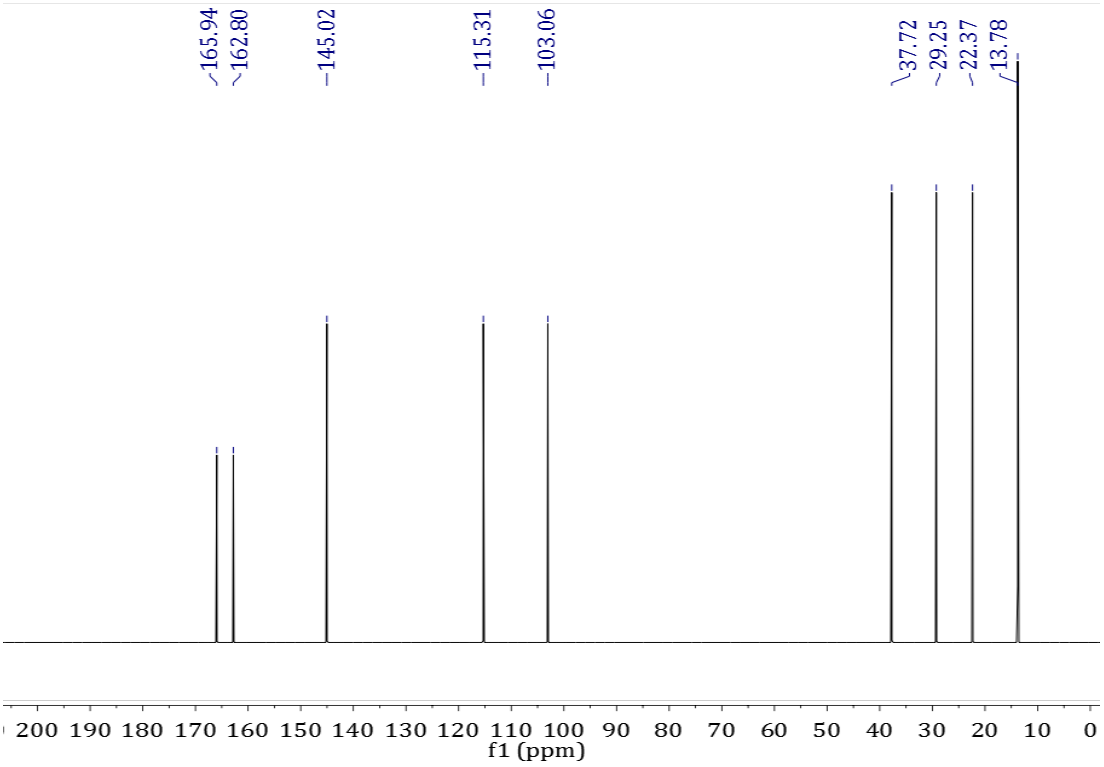

Figure 3 : Spectre de masse de la 6-butyl-α-pyrone obtenu par ionisation par impact électronique (70 eV).

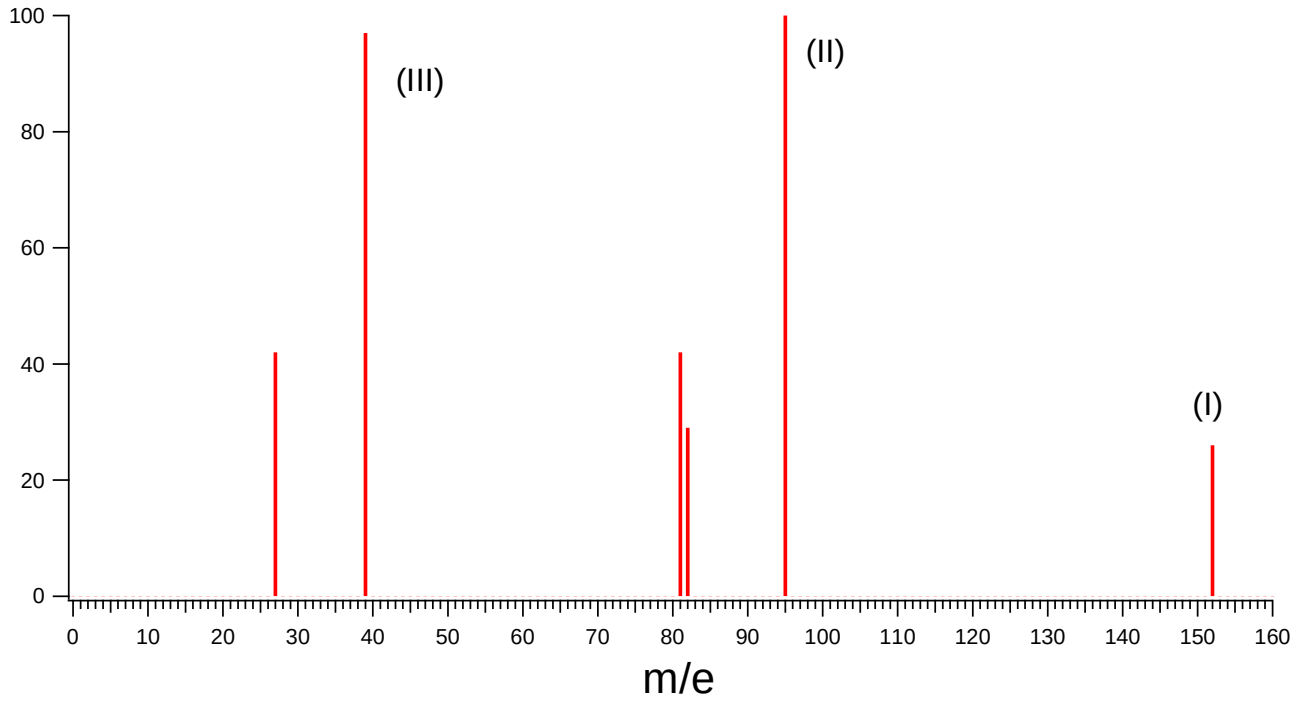


Figure 4-a : spectre RMN $^{1}H$ de la molécule « saveur noisette » mesuré avec un spectromètre travaillant à 400 MHz avec les courbes d'intégration en rouge et l'agrandissement de certains massifs.

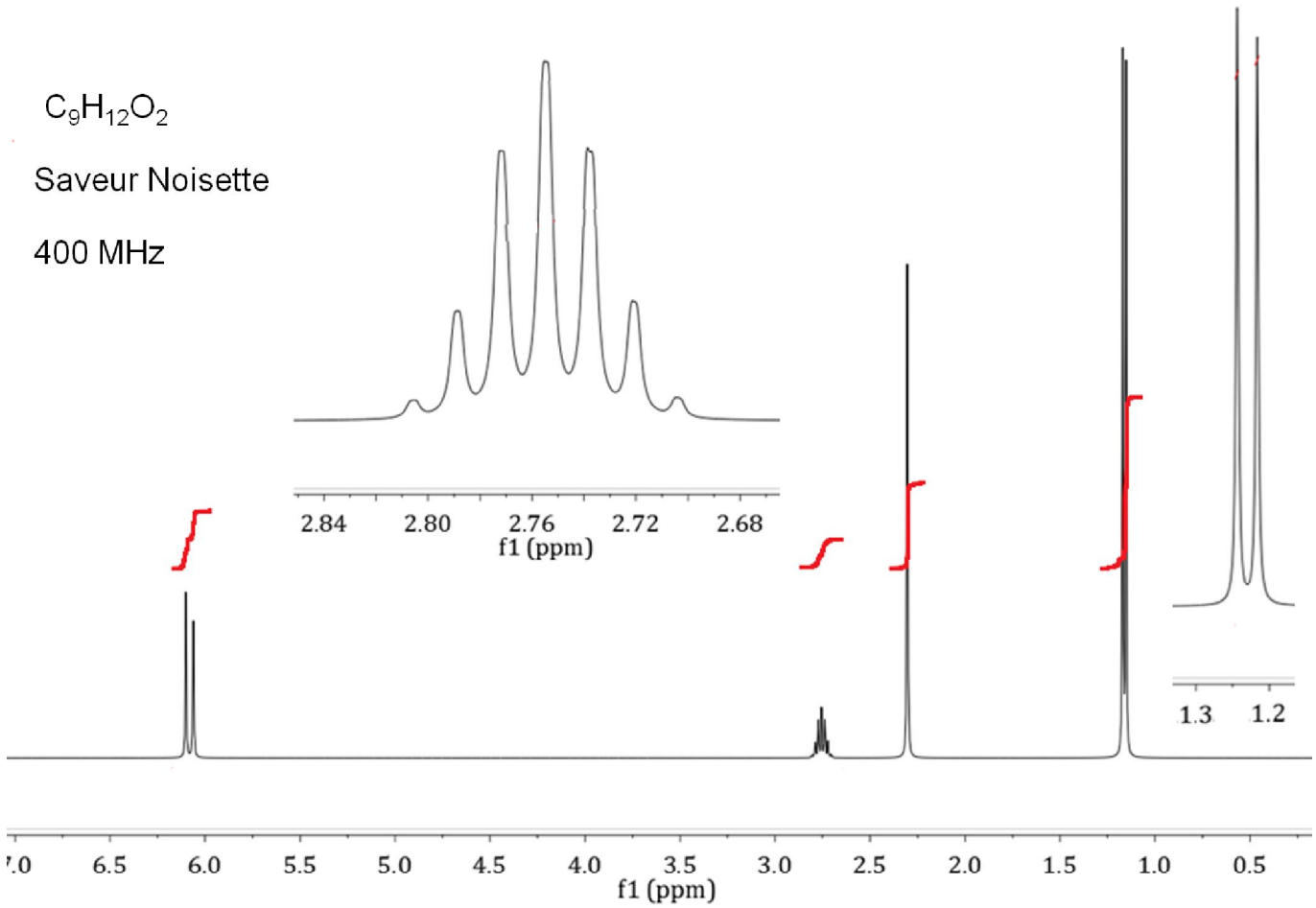

Figure 4-b : spectre RMN $^{1}H$ de la molécule « saveur lait » mesuré avec un spectromètre travaillant à 400 MHz avec les courbes d'intégration en rouge et l'agrandissement de certains massifs.

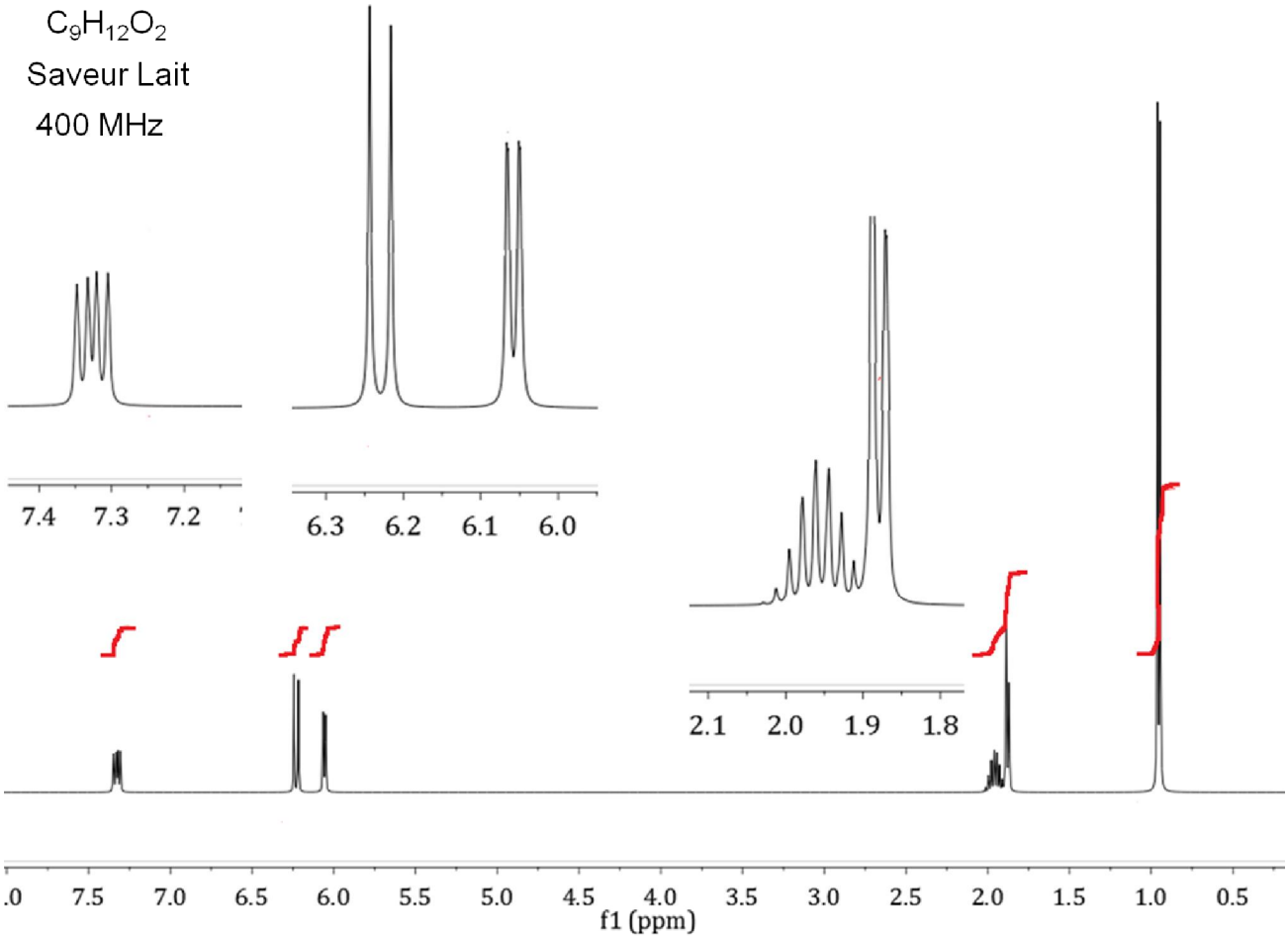


Figure 4-c : spectre RMN $^{1}H$ de la molécule « saveur lait » mesuré avec un spectromètre travaillant à **600 MHz** avec les courbes d'intégration en rouge et l'agrandissement de certains massifs.

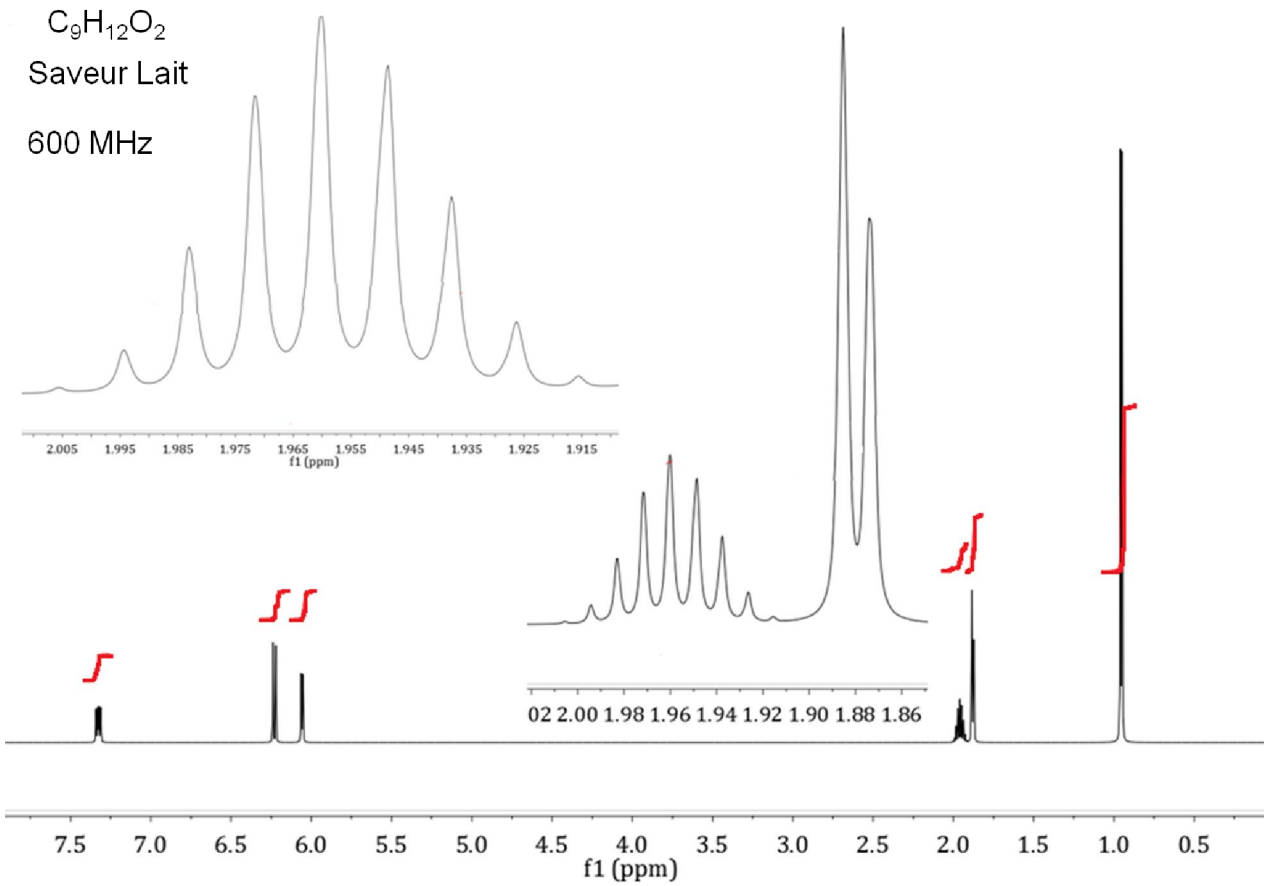

Figure 5 : Spectres RMN $^{1}H$ de $C_{10}H_{18}O_2$ ( figure 5-a) et du $C_{10}H_9D_9O_2$ (groupe butyle totalement deutéré) sur la figure 5-b. La fréquence du spectromètre pour le proton est de 400 MHz.

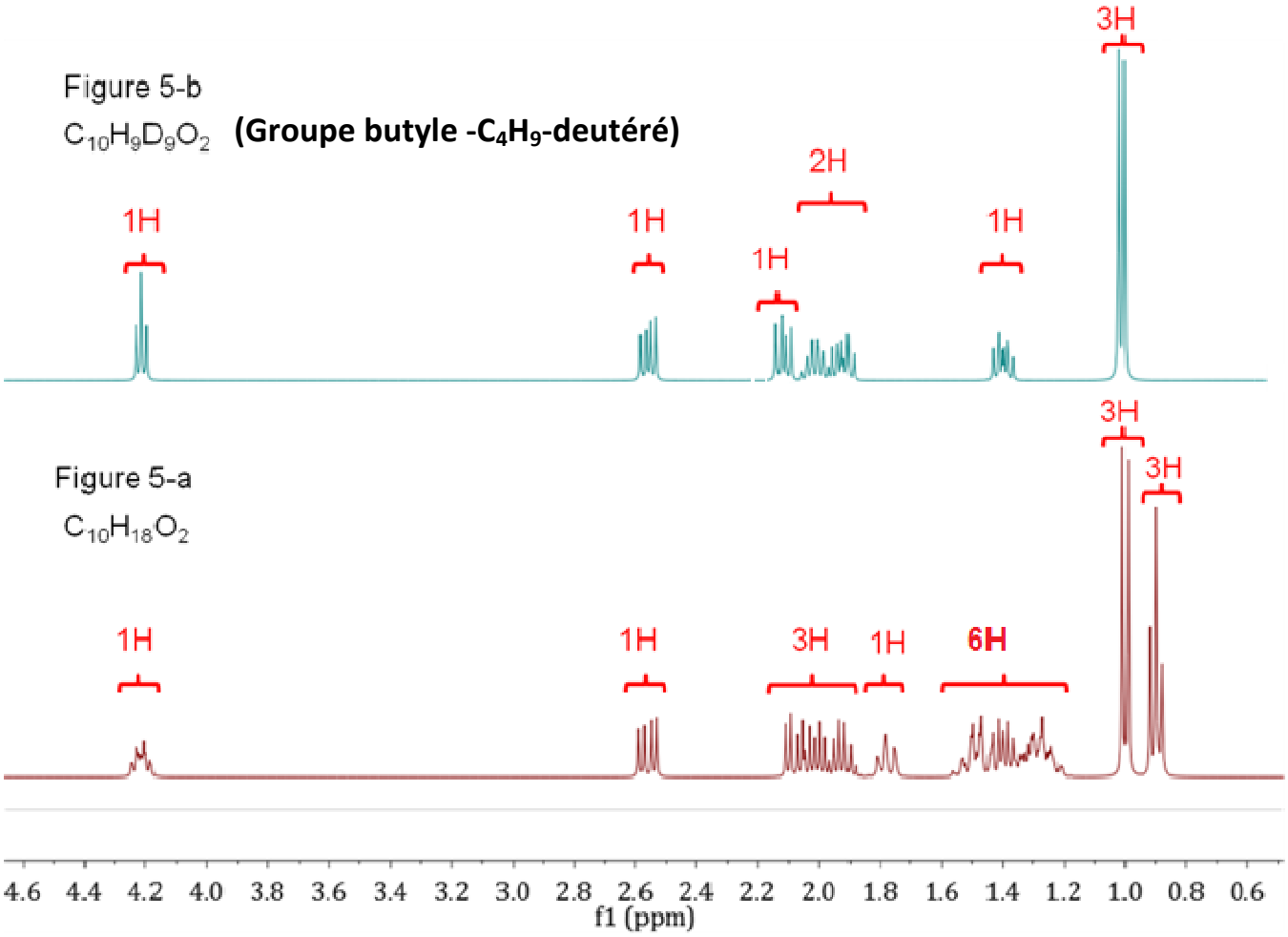

Figure 6 -a: Spectre RMN 2D $^{13}C$- $^{1}H$ de la molécule $C_{10}H_9D_9O_2$.

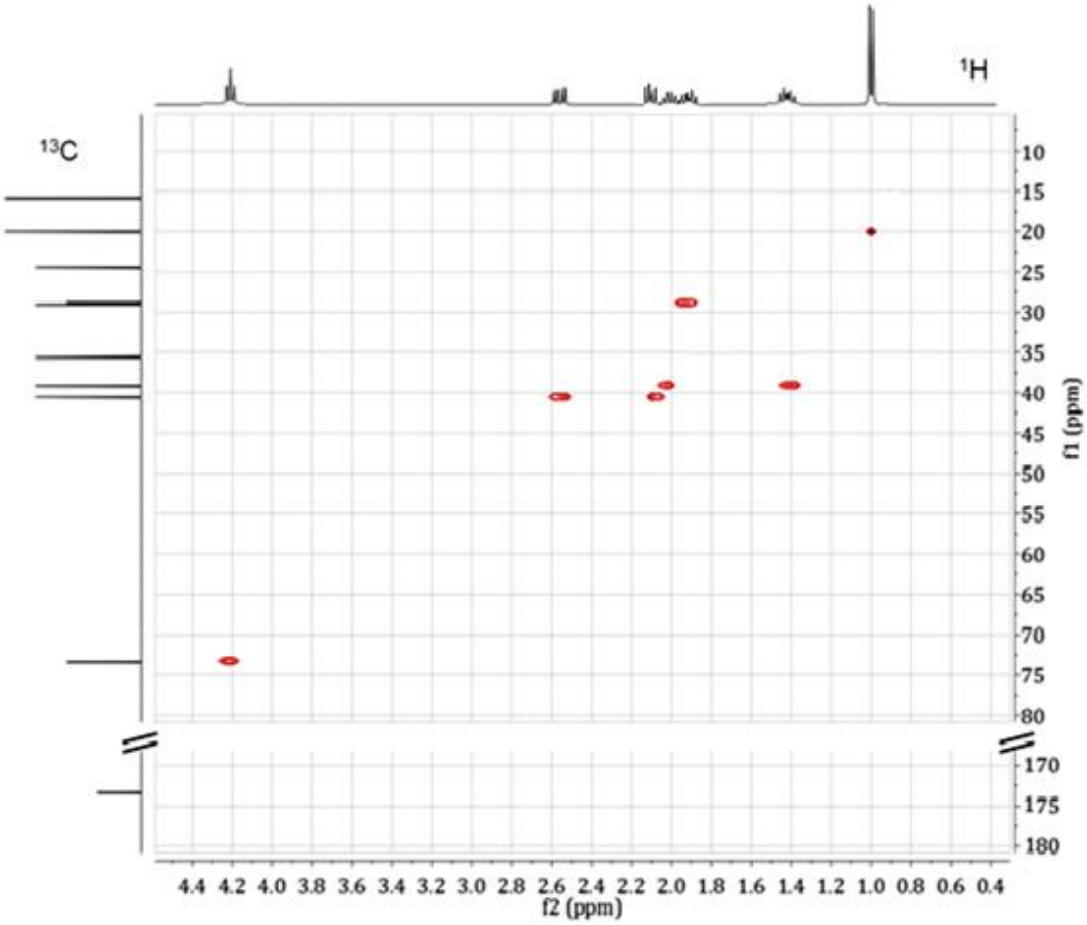

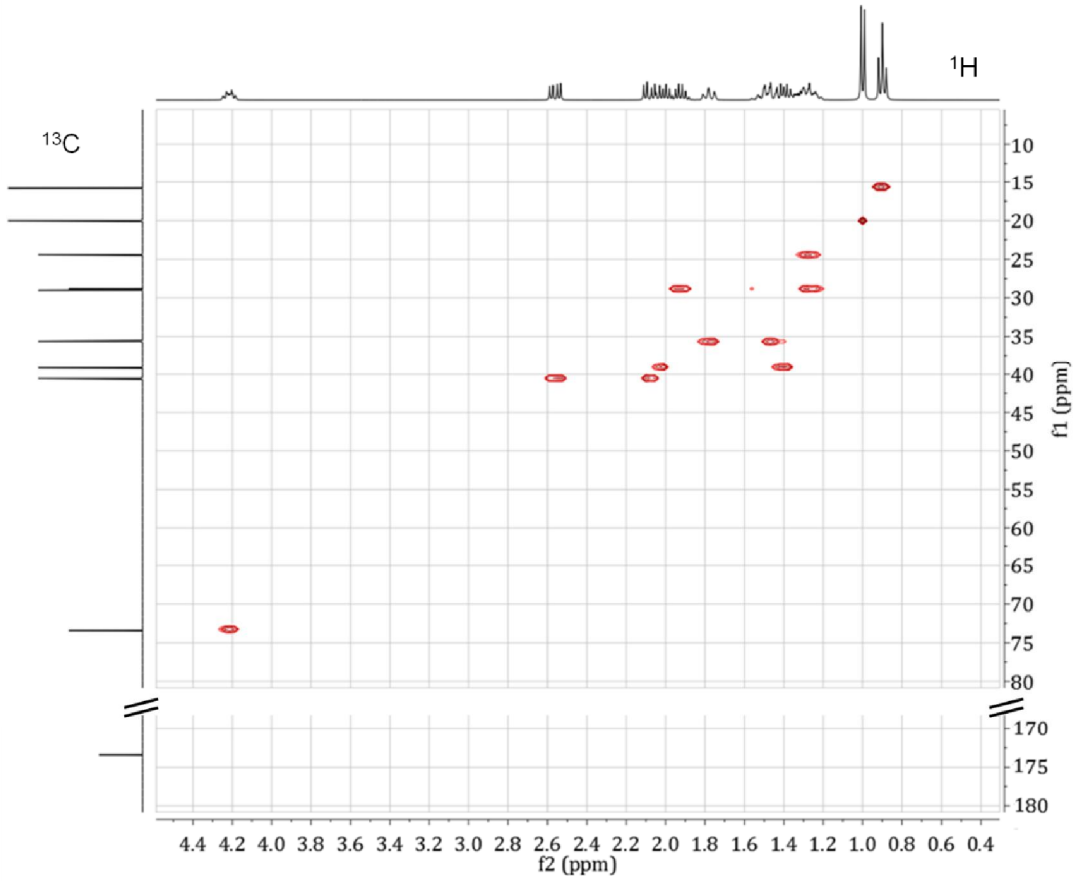
Figure 6-b : Spectre RMN 2D $^{13}C$- $^{1}H$ de la molécule $C_{10}H_{18}O_2$